

В. М. ГОЛОВИН

К ВОПРОСУ О ВЛИЯНИИ ДИССИПАЦИИ МЕХАНИЧЕСКОЙ ЭНЕРГИИ НА ТЕПЛОБМЕН ПРИ ЛАМИНАРНОМ ДВИЖЕНИИ ЖИДКОСТИ В КРУГЛОЙ ЦИЛИНДРИЧЕСКОЙ ТРУБЕ

В работе дается решение задачи Гретца—Нуссельта при краевых условиях 3 рода с учетом диссипации механической энергии. Приводится сопоставление результатов с данными работы [1], в которой диссипативный эффект не учитывался.

ПРИНЯТЫЕ ОБОЗНАЧЕНИЯ

- T — температура жидкости;
 T_1 — температура жидкости на входе в трубу;
 T_0 — температура окружающей среды;
 V — скорость течения;
 W — средняя по объемному расходу Q скорость;
 ρ, c, λ, μ — соответственно плотность, теплоемкость, теплопроводность и динамическая вязкость жидкости;
 Re — число Рейнольдса;
 Pe — число Пекле;
 λ_w и δ — теплопроводность и толщина стенок трубы;
 α — внешний коэффициент теплоотдачи от наружной поверхности стенок в окружающую среду;
 k — коэффициент теплопередачи

$$\frac{1}{k} = \left(\frac{1}{\alpha} \right) + \frac{\delta}{\lambda_w};$$

$Nu_k = \frac{kd}{\lambda}$ — граничное число Нуссельта;

$D = \left(\frac{\mu}{\lambda} \right) W^2$ — диссипативный фактор;

$\vartheta_1 = T_1 - T_0 > 0$ — начальный температурный напор;

$R = \frac{d}{2}$ — радиус трубы.

При постоянных теплофизических характеристиках жидкости задача об установившемся ламинарном движении ее в круглой

цилиндрической трубе с теплообменом формулируется следующей системой уравнений и краевых условий:

$$V = 2W \left(1 - \frac{r^2}{R^2} \right); \quad (1)$$

$$\rho c V \frac{\partial T}{\partial z} = \lambda \left(\frac{\partial^2 T}{\partial r^2} + \frac{1}{r} \frac{\partial T}{\partial r} + \frac{\partial^2 T}{\partial z^2} \right) + \mu \left(\frac{dv}{dr} \right)^2; \quad (2)$$

$$T|_{z=0} = T_1; \quad k(T - T_0)|_{r=R} = -\lambda \frac{\partial T}{\partial r} \Big|_{r=R} \text{ при } z > 0; \quad \frac{\partial T}{\partial r} \Big|_{r=0} = 0;$$

$$\frac{\partial T}{\partial z} \Big|_{z=\infty} = 0 \quad (3)$$

(здесь r, z — цилиндрические координаты. Ось z направлена по оси трубы в сторону течения).

Вводя вместо T новую функцию

$$\vartheta = \frac{T - T_0}{T_1 - T_0} = \frac{\vartheta_z}{\vartheta_1},$$

а вместо r и z новые аргументы

$$\xi = \frac{r^2}{R^2}, \quad \zeta = \frac{1}{\text{Pe}} \cdot \frac{z}{R}$$

и, пренебрегая при больших числах Пекле аксиальной теплопроводностью, описываемой слагаемым $\frac{1}{\text{Pe}^2} \frac{\partial^2 \vartheta}{\partial \zeta^2}$, преобразуем систему (1) — (3) в систему:

$$(1 - \xi) \frac{\partial \vartheta}{\partial \zeta} = 4 \frac{\partial}{\partial \xi} \left(\xi \frac{\partial \vartheta}{\partial \xi} \right) + 16 \tilde{D} \xi; \quad (4)$$

$$\vartheta|_{\zeta=0} = 1; \quad -\frac{\partial \vartheta}{\partial \xi} \Big|_{\xi=1} = \frac{\text{Nu}_k}{4} \vartheta|_{\xi=1} \text{ при } \zeta > 0; \quad \frac{\partial \vartheta}{\partial \xi} \Big|_{\xi=0} = 0; \quad \frac{\partial \vartheta}{\partial \zeta} \Big|_{\zeta=\infty} = 0, \quad (5)$$

где $\tilde{D} = \frac{D}{\vartheta_1}$ — приведенный диссипативный фактор.

Решение уравнения (4) может быть представлено в виде суммы двух функций

$$\vartheta = \vartheta_0 + \vartheta_*, \quad (6)$$

из которых ϑ_0 удовлетворяет однородному уравнению, соответствующему уравнению (4) и краевым условиям (5), а ϑ_* — исходному уравнению (4) и краевым условиям:

$$\vartheta_*|_{\zeta=0} = 0; \quad -\frac{\partial \vartheta_*}{\partial \xi} \Big|_{\xi=1} = \frac{\text{Nu}_k}{4} \vartheta_*|_{\xi=1} \text{ при } \zeta > 0; \quad \frac{\partial \vartheta_*}{\partial \xi} \Big|_{\xi=0} = 0, \quad \frac{\partial \vartheta_*}{\partial \zeta} \Big|_{\zeta=\infty} = 0.$$

За исключением обозначений, ϑ_0 совпадает с решением, приведенным в [1] и представляется в виде ряда по собственным функциям $p_n(\xi)$

$$\vartheta_0 = \sum_{n=0}^{\infty} A_n \exp(-\beta_n^2 \zeta) p_n(\xi), \quad (7)$$

где β_n — собственные значения вырожденного гипергеометрического уравнения

$$x y'' + (1-x) y' - \alpha_n y = 0;$$

$$x = \beta_n \xi; \quad \alpha_n = \frac{2 - \beta_n}{4},$$

решением которого, конечным на оси трубы ($\xi = 0$), является функция Похгаммера:

$${}_1F_1(\alpha_n; 1; \beta_n \xi) = \sum_{m=0}^{\infty} \frac{(\alpha_n)_m}{(m!)^2} (\beta_n \xi)^m;$$

$$(\alpha_n)_0 = 1; \quad (\alpha_n)_m = \alpha_n(\alpha_n + 1) \dots (\alpha_n + m - 1);$$

$$p_n = \exp\left(-\frac{1}{2} \beta_n \xi\right) {}_1F_1(\alpha_n; 1; \beta_n \xi). \quad (8)$$

Собственные значения β_n находятся из краевого условия на стенке трубы, сводящегося к трансцендентному уравнению

$$\beta_n \left[\frac{1}{2} - \alpha_n \frac{{}_1F_1(\alpha_n + 1; 2; \beta_n)}{{}_1F_1(\alpha_n; 1; \beta_n)} \right] = \frac{Nu_{\kappa}}{4}. \quad (9)$$

Коэффициенты A_n ряда (7) определяются из условия на входе в трубу по формуле:

$$A_n = \frac{\int_0^1 g p_n(\xi) d\xi}{\int_0^1 g p_n^2(\xi) d\xi} = \frac{Nu_{\kappa}}{\beta_n^2} p_n(1) \cdot \frac{1}{N_n^2} = \frac{A'_n}{N_n^2}. \quad (10)$$

Решение ϑ_* также представляется рядом по тем же собственным функциям:

$$\vartheta_* = \bar{D} \left\{ \left[(1 - \xi^2) + \frac{8}{Nu_{\kappa}} \right] + \sum_{n=0}^{\infty} E_n \exp(-\beta_n^2 \zeta) p_n(\xi) \right\} \quad (11)$$

$$E_n = B_n - A_n \left(1 + \frac{8}{Nu_{\kappa}} \right),$$

в котором коэффициенты B_n определяются из условия на входе в трубу по формуле:

$$B_n = \frac{\int_0^1 g \xi^2 p_n(\xi) d\xi}{\int_0^1 g p_n^2(\xi) d\xi} = \frac{B'_n}{N_n^2}, \quad (12)$$

$$g = 1 - \xi;$$

Таким образом, решением уравнения (4) при краевых условиях (5) является функция:

$$\vartheta = \vartheta_0 + \vartheta_* = \tilde{D} \left[(1 - \xi^2) + \frac{8}{Nu_k} \right] + \sum_{n=0}^{\infty} C_n \exp(-\beta_n^2 \zeta) p_n(\xi); \quad (13)$$

$$C_n = A_n + \tilde{D} E_n.$$

Таблица 1

n	Nu _k = ∞			Nu _k = 40		
	0	1	2	0	1	2
β_n	2,7044	6,6790	10,6734	2,6069	6,5098	10,4500
$2\beta_n^2$	14,63	89,22	227,8	13,59	84,76	218,4
A'_n	0,2774	-0,0605	0,0276	0,2900	-0,0596	0,0261
B'_n	0,0231	-0,0227	0,0167	0,0264	-0,0251	0,0179
N_n^2	0,1879	0,0750	0,0469	0,199	0,0782	0,0484
Λ_n	1,476	-0,806	0,589	1,457	-0,763	0,538
B_n	0,123	-0,302	0,357	0,133	-0,321	0,371
E_n	-1,353	0,504	-0,232	-1,614	0,595	-0,275
$p_n(1)$	0	0	0	0,0493	-0,0632	0,0712

n	Nu _k = 4			Nu _k = 1		
	0	1	2	0	1	2
β_n	2,0000	5,7439	9,6450	1,2716	5,2951	9,3063
$2\beta_n^2$	8,0000	65,99	186,0	3,236	56,07	173,2
A'_n	0,368	-0,0403	0,0130	0,443	-0,0161	0,00430
B'_n	0,0467	-0,0323	0,0187	0,0673	-0,0328	0,0188
N_n^2	0,284	0,0902	0,0528	0,396	0,0940	0,0536
Λ_n	1,295	-0,447	0,246	1,12	-0,171	0,0801
B_n	0,161	-0,358	0,353	0,170	-0,349	0,351
E_n	-3,721	0,982	-0,385	-9,91	1,19	0,370
$p_n(1)$	0,368	-0,333	0,303	0,717	-0,451	0,372

$$\bar{D}=0,12$$

		$Nu_k = \infty$	$Nu_k = 40$	$Nu_k = 4$	$Nu_k = 1$
C_n	C_0	1,314	1,263	0,849	-0,070
	C_1	-0,735	-0,691	-0,329	-0,028
	C_2	0,561	0,505	0,200	0,036
G_n	G_0	0,73	0,734	0,625	-0,062
	G_1	0,089	0,082	0,027	-0,001
	G_2	0,031	0,026	0,005	0,000

Величина среднего по объёмному расходу температурного напора в различных сечениях трубы получается равной:

$$\frac{\bar{\vartheta}_z}{\bar{\vartheta}_1} = \left(\frac{5}{6} + \frac{8}{Nu_k} \right) \bar{D} + \sum_{n=0}^{\infty} G_n \exp(-\beta_n^2 \zeta); \quad (14)$$

$$G_n = 2A'_n C_n.$$

Температурный градиент на внутренней поверхности стенки и число Нуссельта определяются формулами:

$$\frac{1}{\bar{\vartheta}_1} \frac{\partial T}{\partial r} \Big|_{r=R} = -\frac{1}{d} [8\bar{D} + Nu_k \sum_{n=0}^{\infty} C_n p_n(1) \exp(-\beta_n^2 \zeta)]; \quad (15)$$

$$Nu(z) = \frac{\alpha_1 d}{\lambda} = \frac{8\bar{D} + Nu_k \sum_{n=0}^{\infty} C_n p_n(1) \exp(-\beta_n^2 \zeta)}{\left(\frac{5}{6} + \frac{8}{Nu_k} \right) \bar{D} + \sum_{n=0}^{\infty} G_n \exp(-\beta_n^2 \zeta)}. \quad (16)$$

При этом для предельного числа Нуссельта имеет место выражение

$$Nu(\infty) = \frac{48Nu_k}{5Nu_k + 48}. \quad (17)$$

Значения β_n , $2\beta_n^2$, A_n , B_n , N_n^2 , A_n , B_n , E_n , $p_n(1)$, рассчитанные для $n = 0, 1, 2$ и $Nu_k = \infty, 40, 4, 1$, приведены в таблице 1, а значения C_n и G_n при $\bar{D} = 0,12$ и тех же n и Nu_k — в таблице 2.

На рис. 1 представлены кривые $\frac{\bar{\vartheta}_z}{\bar{\vartheta}_1} = \varphi(z)$ при $Nu_k = 40, 4, 1$ и $\bar{D} = 0,12$. На том же рисунке пунктиром изображены кривые $\frac{\bar{\vartheta}_z}{\bar{\vartheta}_1} = \varphi_0(z)$, соответствующие решению работы [1].

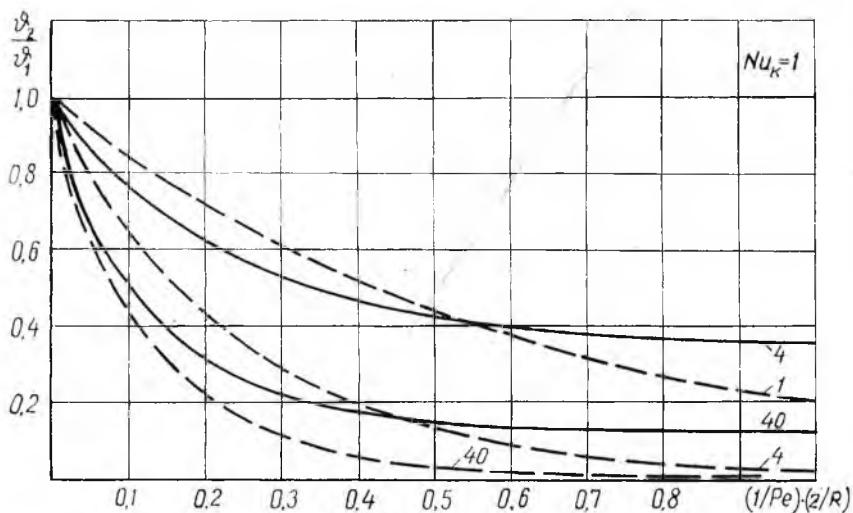


Рис. 1.

На рис. 2 показано изменение предельного значения числа $Nu(\infty)$ в зависимости от Nu_k , как с учетом, так и без учета диссипативного нагрева (пунктир).

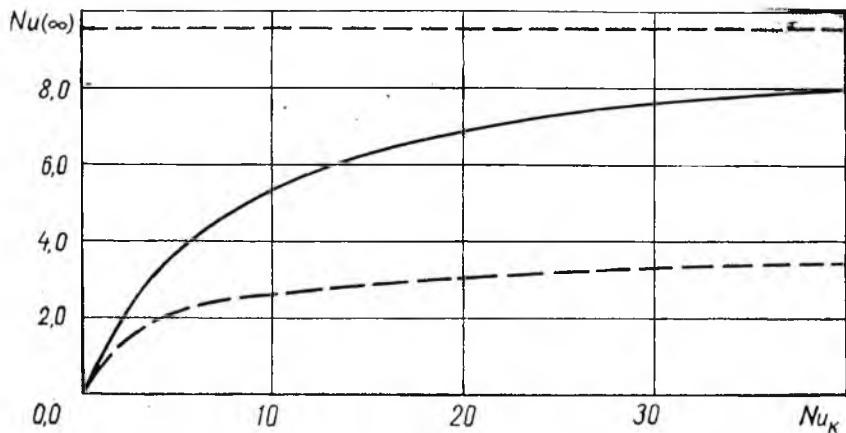


Рис. 2.

Как и следовало ожидать, анализ полученных результатов подтверждает то физически очевидное обстоятельство, что по мере роста степени теплоизоляции роль рассеяния механической энергии в механизме теплообмена ламинарного потока в трубе с окружающей средой возрастает.

Существенным является то, что температурное поле на достаточном удалении от входа при данном Nu_K определяется исключительно величиной диссипативного фактора D . Поэтому пренебрежение им при расчете средних по сечению температур в длинных трубопроводах, как явствует из рис. 1, приводит к значительным ошибкам.

Более того, для каждого Nu_K существует такое \bar{D} (а следовательно, и D)

$$\bar{D} \geq \frac{1}{\frac{5}{6} + \frac{8}{Nu_K}},$$

при котором характер процесса коренным образом меняется, и жидкость после первоначального охлаждения на сравнительно коротком входном участке начинает вновь разогреваться, достигая вдали от входа температур, даже превышающих начальную. Так, при $Nu_K=1$ и $D=0,12$ начальная температура восстанавливается уже при

$$\frac{1}{Re} \frac{z}{R} \approx 0,005. \quad (18)$$

Этот случай имеет, например, место при прокачивании машинного масла с начальной температурой $T_1=80^\circ\text{C}$ в трубе диаметром $d=0,005$ м и с расходом $Q=6,5$ л/мин, что соответствует скорости $W=5,5$ м/сек.

Согласно данным [2] (стр. 615) теплофизические характеристики масла при $T_1=80^\circ\text{C}$ следующие:

$$\nu = 0,375 \cdot 10^{-4} \frac{\text{м}^2}{\text{сек}}, \quad \mu = 32,6 \cdot 10^{-4} \frac{\text{кгсек}}{\text{м}^2},$$

$$\lambda = 0,119 \frac{\text{ккал}}{\text{м час } ^\circ\text{C}}, \quad Pr = 490.$$

При скорости $W=5,5 \frac{\text{м}}{\text{сек}}$ число Рейнольдса $Re=735$, число $Pe=3,6 \cdot 10^5$, приведенный диссипативный фактор при температуре окружающей среды $T_0=20^\circ\text{C}$, $\bar{D}=0,12$. В соответствии с (18) начальная температура восстанавливается на расстоянии 900 калибров от входа.

Рассмотренный пример в достаточной мере ясно показывает необходимость учета диссипативного эффекта при расчете теплообменных аппаратов и иных технических устройств, особенно в тех случаях, когда из-за зарастивания проходных сечений труб смолистыми или иными отложениями первоначальные параметры и, в частности, Nu_K могут изменяться в довольно широких пределах.

ВЫВОДЫ

1) Получено аналитическое решение задачи о теплообмене ламинарного потока жидкости в трубе с окружающей средой при

краевых условиях третьего рода во всем диапазоне их изменения с учетом диссипации механической энергии.

2) Показано, что по мере роста степени теплоизоляции потока роль диссипации механической энергии в механизме теплообмена возрастает.

3) На численном примере проиллюстрирована важность учета диссипативного эффекта при расчете теплообменников, особенно в случае облитерации их каналов.

ЛИТЕРАТУРА

1. I. Schenk and Dumogé. «Appl. Sci Res» A, s 405. 1954,
 2. Э. Р. Эккерт и Р. М. Дрейк. «Теория тепло- и массообмена». Госэнергоиздат. 1961.
-